

УДК 546.650+543.421/.424+ 539.261

**I.P. Олишевець <sup>a</sup>, В.В. Дьяконенко <sup>b</sup>, С.В. Шишкіна <sup>b</sup>, В.О. Труш <sup>a</sup>, Т.Ю. Сліва <sup>a</sup>,  
В.М. Амірханов <sup>a</sup>**

## СИНТЕЗ, СТРУКТУРНІ ТА СПЕКТРАЛЬНІ ДОСЛІДЖЕННЯ АНІОННИХ ТЕТРАКІС-КОМПЛЕКСІВ ЛАНТАНОЇДІВ $CsLnL_4^-$ ІЗ САФ-ЛІГАНДОМ – ДИМЕТИЛ(ФЕНІЛСУЛЬФОНІЛ)АМІДОФОСФАТОМ

<sup>a</sup> Київський національний університет імені Тараса Шевченка

<sup>b</sup> ДНУ «Науково-технологічний комплекс «Інститут монокристалів» НАН України, м. Харків

Синтезовано нові аніонні координаційні сполуки лантаноїдів із представником САФ лігандів (сульфоніламідофосфатів) складу  $Cs[LnL_4]$ , де  $Ln=La, Nd, Eu, Tb$ ,  $L=[C_6H_5(SO_2)N(PO)(OCH_3)_2]$ . Одержані сполуки досліджено за допомогою  $^1H$  ЯМР, ІЧ та електронної спектроскопії, а також методом рентгеноструктурного аналізу. Сполуку було одержано в монокристалічному вигляді. Методом рентгеноструктурного аналізу встановлено структуру комплексу  $Cs[NdL_4]$ , доведено її полімерну будову та підтверджено координацію лігандів в ацидоформі через атоми Оксигену фосфорильної та сульфонільної групи. На основі структурних даних координаційний поліедр іона  $Nd^{3+}$  інтерпретовано як викривлений додекаедр. На підставі аналізу електронних спектрів поглинання та дифузного відбиття зроблено висновок про подібність будови найближчого оточення центрального атома в розчині комплексу в ацетонітрилі та кристалічному стані.

**Ключові слова:** САФ ліганди, сульфоніламідофосфати, лантаноїди, координаційні сполуки, *тетракіс*-комpleкси, спектроскопія, рентгеноструктурний структурний аналіз.

**DOI:** 10.32434/0321-4095-2018-121-6-56-62

### **Вступ**

Комpleкси лантаноїдів вже широко використовуються у сучасних технологіях і розглядаються як перспективні сполуки для створення нових матеріалів, що можуть знайти своє застосування в різних галузях науки та виробництва, наприклад як люмінесцентні мітки у біомедицині [1], в електролюмінісцентних приладах [2,3]. Координаційні сполуки лантаноїдів з бідентатно-хелатуючими лігандами  $\beta$ -дикетонами вже використовують на практиці та є привабливими об'єктами досліджень багатьох наукових груп [4]. Фосфорильовані сульфаміди (САФ ліганди) загальної формули  $R(SO_2)NH(PO)(R')_2$  – це великий клас амполідентатних лігандів, які можна розглядати як структурні аналоги  $\beta$ -дикетонів, що мають низку певних переваг при створенні люмінесцентних сполук і матеріалів [5]. Варіюванням природи замісників біля атома фосфору та сульфуру в складі САФ ліганду можна

певним чином впливати на властивості координаційних сполук на їх основі. Дослідження комплексів лантаноїдів на основі САФ лігандів є перспективним напрямом в координаційній хімії, що обумовлено можливістю їх практичного використання для створення лазерних, оптических, полімерних люмінофорних матеріалів [6]. Аніонні комплекси лантаноїдів можуть знайти застосування для створення металомісних іонних рідин, електропровідних розчинів, що містять люмінесценціючі іони [7,8]. Такі комплекси можуть виступати також як вихідні речовини для синтезу гетеробіядерних сполук. У випадку аніонних *тетракіс*-комплексів  $[LnL_4]^-$  додатковим фактором, що певним чином обумовлює властивості сполук є варіювання природи катіона, яка впливає на структуру комплексу та, відповідно, геометрію локального оточення центрального іона металу.

Метою даної роботи було синтезувати ані-

онні тетракіс-комплекси лантаноїдів складу  $Cs[LnL_4]$  з диметил(фенілсульфоніл)амідофосфатом (HL) (рис. 1) та дослідити їх будову та спектральні властивості.

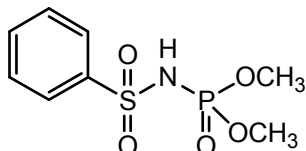


Рис. 1. Будова диметил(фенілсульфоніл)амідофосфату (HL)

### Експериментальна частина

Синтез ліганду здійснювали згідно з опублікованою раніше методикою [6].

Для одержання цезієвої солі диметил-(фенілсульфоніл)амідофосфату була використана реакція обміну між карбонатом цезію та розчином HL (схема 1).

0,015 моль  $Cs_2CO_3$  розчиняли в 15 мл метанолу та до цього розчину додавали 0,030 моль HL в 15 мл метанолу. Через деякий час з розчину виділявся білий кристалічний осад  $CsL$ . Сполучка розчинна в спиртах, ацетоні та майже не розчинна в неполярних органічних розчинниках. Температура плавлення  $CsL$  180–182°C.

Аніонні комплекси лантану, неодиму, європію та тербію були синтезовані з використан-

ням розчинів нітратів лантаноїдів і цезієвої солі ліганду в ізопропіловому спирті за наступною схемою:



$Ln = La, Nd, Eu, Tb$

Наважку 1 ммоль  $Ln(NO_3)_3 \cdot nH_2O$  розчиняли в 10 мл ізопропанолу. В якості дегідратуючого агенту використовували ортоетилформіат еквімолярний до кристалізаційної води нітрату лантаноїду кількості. Розчин нагрівали до повного розчинення солі лантаноїду. До нього приливали розчин 4 ммоль солі ліганду  $CsL$  в ізопропанолі, при цьому спостерігали випадіння білого осаду нітрату цезію (схема 2). Розчин охолоджували, відфільтровували, та фільтрат поміщали в ексикатор над  $CaCl_2$ . Через деякий час з маточного розчину виділялися кристали комплексу.

Одержані координаційні сполуки являють собою кристалічні речовини стійкі на повітрі та слабко забарвлені в кольори, що відповідають гідратованим іонам  $Ln^{3+}$ . Вихід координаційних сполук складав 80–90%. Температура плавлення комплексів становить 183–185°C і є дещо нижчою за відповідні температури плавлення аналогічних комплексів складу  $Na[LnL_4]$  (188–

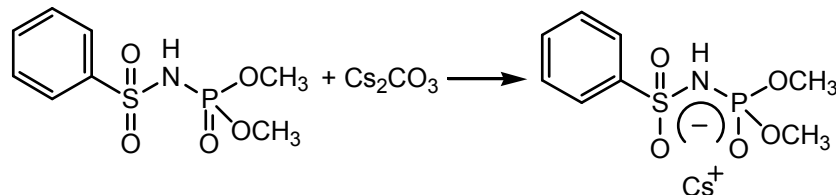


Схема 1

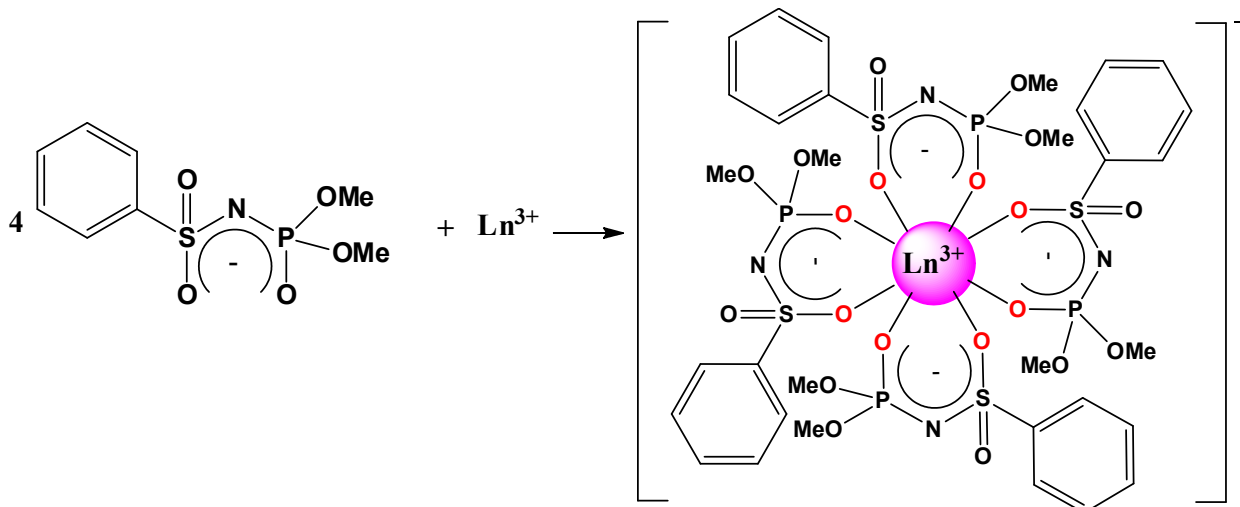


Схема 2

190°C). Склад одержаних комплексів підтверджено аналізом на вміст металу (трилонометрично з індикатором ксиленоловим помаранчевим):

Ln (III)	Знайдено/розраховано, %	Температура плавлення, °C
La	10,44/10,47	184
Nd	10,75/10,80	184
Eu	11,30/11,33	185
Tb	11,75/11,80	183

Склад і будову синтезованих сполук вивчали методами інфрачервоної, електронної,  $^1\text{H}$  ЯМР спектроскопії та рентгеноструктурного аналізу (PCA).

ІЧ спектри синтезованих сполук в діапазоні 400–4000 см $^{-1}$  записували у вигляді таблицок в KBr на приладі Perkin Elmer BX-II.

Зйомку спектрів  $^1\text{H}$  ЯМР здійснювали на імпульсному радіоспектрометрі WR-400 (“Bruker”) при кімнатній температурі.

Електронні спектри дифузного відбиття кристалічних зразків комплексу неодиму реєстрували на спектрометрі SPECTORDM-40 при кімнатній температурі в діапазоні довжин хвиль 420–440 та 560–610 нм. Спектри поглинання в УФ діапазоні записували для розчинів комплексів у ацетонітрилі на приладі КСВУ-23 «ЛОМО», адаптованому до IBM PC.

Рентгеноструктурний експеримент виконано на дифрактометрі “Xcalibur-3” (MoK $\alpha$ , CCD детектор, графітовий монохроматор,  $\omega$ -сканування,  $2\theta_{\max}=50^\circ$ ). Усі розрахунки виконувались з використанням комплексу програм SHELXTL [9,10]. Структуру розшифровано прямим методом і уточнено повноматричним МНК в анізотропному наближенні для всіх атомів, крім гідрогенів. Положення атомів гідрогену визначали геометрично та уточнювали методом “вершинка” з  $U_{\text{iso}}=nU_{\text{екв}}$  атома, зв’язаного з даним атомом гідрогену ( $n=1,5$  для метильних груп та  $n=1,2$  для інших атомів гідрогену).

Кристали Cs[LnL<sub>4</sub>] ( $M=2667,96$  г/моль) ромбічні, просторова група Pbca,  $a=14,7093(9)$  Å,  $b=16,9613(10)$  Å,  $c=40,131(2)$  Å,  $V=10012,2(10)$  Å $^3$ ,  $Z=4$ ,  $T=293$  K,  $m(\text{MoK}_\alpha)=2,123$  мм $^{-1}$ ,  $D_{\text{обq}}=$

=1,770 г/см $^3$ , зібрano 87107 відбиттів ( $6,038^\circ \leq 2\theta \leq 55^\circ$ ), з них 11408 незалежних відбиттів ( $R_{\text{int}}=0,111$ ,  $R_{\text{sigma}}=0,078$ ), які використано у розрахунках. Остаточні значення  $R_c=0,083$  ( $I>2\sigma$  (I)) та  $wR_2=0,165$ . Координати атомів, а також повні таблиці довжин зв’язків і валентних кутів задепоновано до Кембріджської бази структурних даних (e-mail: deposit@ccdc.cam.ac.uk) (CCDC 1843207).

### Результати дослідження та їх обговорення

Характеристичними смугами в ІЧ спектрах сульфамідних лігандів є смуги поглинання сульфонільної та фосфорильної груп (табл. 1). В ІЧ спектрах синтезованих координаційних сполук порівняно з аналогічними смугами поглинання в спектрі HL спостерігається низькочастотний зсув  $v_{\text{as}}(\text{SO}_2)$  на 88–92 см $^{-1}$ ,  $v_s(\text{SO}_2)$  на 52–56 см $^{-1}$ ,  $v(\text{P=O})$  на 92–95 см $^{-1}$ , що пояснюється зменшенням порядку зв’язків S=O та P=O внаслідок координації лігандів. Ці зсуви можна розглядати як ІЧ спектральний критерій біденатної координації ліганду через атоми оксигену сульфонільної та фосфорильної груп. Положення інших смуг в ІЧ спектрах синтезованих сполук є малоінформативним.

Таблиця 1  
Основні смуги поглинання в ІЧ спектрах синтезованих сполук

Сполука	Частота коливання (см $^{-1}$ )		
	$v_{\text{as}}(\text{SO}_2)$	$v_s(\text{SO}_2)$	$v(\text{PO})$
HL	1335	1175	1255
CsL	1260	1132	1185
Cs[LaL <sub>4</sub> ]	1247	1123	1161
Cs[NdL <sub>4</sub> ]	1245	1120	1163
Cs[EuL <sub>4</sub> ]	1247	1121	1160
Cs[TbL <sub>4</sub> ]	1243	1119	1163

В ЯМР  $^1\text{H}$  спектрах сполук HL, CsL, Cs[LaL<sub>4</sub>] в розчині DMSO-d<sub>6</sub> спостерігаються кілька груп сигналів (табл. 2). В спектрах CsL спостерігається зсув сигналів в діапазоні сильного поля порівняно з аналогічними сигналами в спектрі HL, що можна пояснити перерозподілом електронної густини в молекулі ліганду внаслідок депротонування. Додатково на депротонування ліганду вказує відсутність сигналу

Таблиця 2

### Значення хімічних зсувів у ПМР спектрах синтезованих сполук

Сполука	$^1\text{H}$ , δ, м.ч
HL	CH <sub>3</sub> : (с, 6H) 3,57, C <sub>6</sub> H <sub>5</sub> : (м, 2H <sub>β</sub> ) 7,58, C <sub>6</sub> H <sub>5</sub> : (м, 1H <sub>γ</sub> ) 7,65, C <sub>6</sub> H <sub>5</sub> : (м, 1H <sub>α</sub> ) 7,91;
CsL	L-: CH <sub>3</sub> : (с, 6H) 3,40, C <sub>6</sub> H <sub>5</sub> : (м, 3H) 7,38, C <sub>6</sub> H <sub>5</sub> : (м, 2H) 7,83
Cs[LaL <sub>4</sub> ]	L-: CH <sub>3</sub> : (с, 24H) 3,53, C <sub>6</sub> H <sub>5</sub> : (м, 12H) 7,39, C <sub>6</sub> H <sub>5</sub> : (м, 8H) 7,88

від NH протону в діапазоні 9,36 м.ч.

В ПМР спектрах комплексу лантану спостерігається зміщення сигналів в бік слабкого поля відносно аналогічних сигналів для CsL. Відсутність у спектрах ПМР комплексів Cs[LaL<sub>4</sub>] синглету при 9,36 м.ч. свідчить про координацію ліганду саме в депротонованій формі, що узгоджується з даними РСА комплексу неодиму.

З електронних спектрів поглинання комплексів неодиму за величиною і характером розщеплення можна судити про геометрію найближчого оточення центрального атома та силу поля лігандів, за величиною зсуву в порівнянні зі спектром аква-іона – про ступінь ковалентності зв’язку [11,12].

За кількістю смуг поглинання у спектрах неодиму в інтервалі надчутливого переходу  $^4I_{9/2} \rightarrow ^2G_{5/2}$  (560–610 нм), їх формі та співвідношенню інтенсивності можна зробити висновок про симетрію найближчого оточення центрального атома [13].

Електронні спектри розчинів синтезованих комплексів неодиму у ацетонітрилі ( $C=10^{-3}$  M) були записані в двох інтервалах довжин хвиль (560–610 нм та 425–435 нм) (рис. 2).

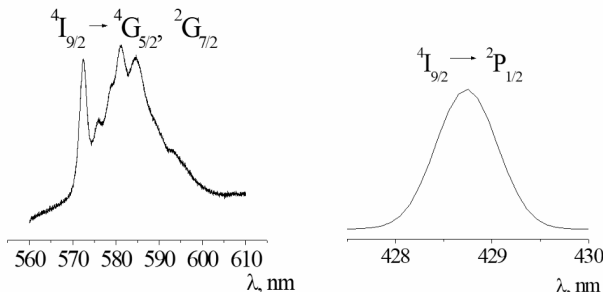


Рис. 2. Електронні спектри поглинання розчину сполуки Cs[NdL<sub>4</sub>] в ацетонітрилі

В спектрі сполуки Cs[NdL<sub>4</sub>] в діапазоні переходу  $^4I_{9/2} \rightarrow ^2P_{1/2}$  (425–435 нм) спостерігається єдина смуга поглинання, що вказує на присутність в розчині комплексних частинок лише одного типу (одного центру поглинання). Вигляд смуг поглинання на ділянці надчутливого переходу є характерним для координаційного числа 8 [13] та корелює з даними РСА.

Порівняння електронних спектрів поглинання розчинів комплексів неодиму Cs[NdL<sub>4</sub>] зі спектрами дифузного відбиття кристалічного зразка (рис. 3) дозволяє стверджувати, що координаційне оточення центрального атома не руйнується у розчинах в ацетонітрилі.

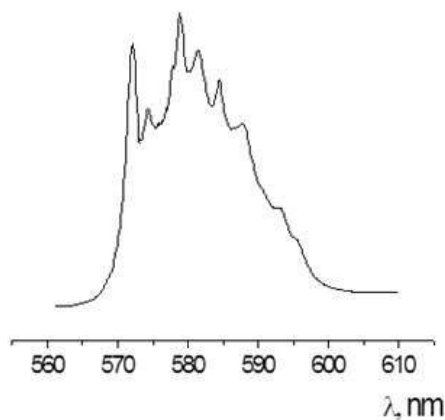


Рис. 3. Електронний спектр дифузного відбиття сполуки Cs[NdL<sub>4</sub>]

Монокристали Cs[NdL<sub>4</sub>] для структурних досліджень було отримано кристалізацією сполуки при повільному випаровуванні її розчину в ізопропанолі.

Координаційна сполука Cs[NdL<sub>4</sub>] кристал-

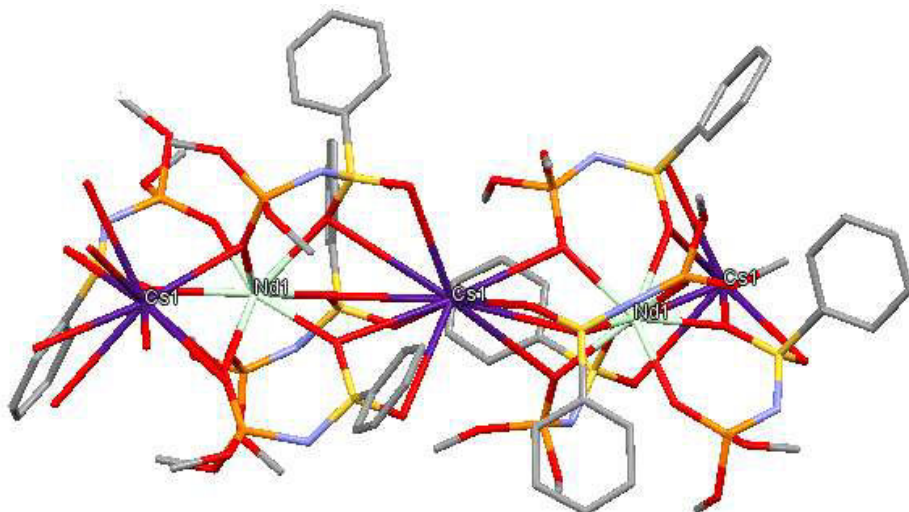


Рис. 4. Фрагмент будови координаційної сполуки Cs[NdL<sub>4</sub>]

ізується в орторомбічній сингонії та просторовій групі *Pbca*. Комплекс має 1D-полімерну будову (рис. 4), в якій катіони цезію пов'язують комплексні аніони в зигзагоподібний ланцюг вздовж кристалографічного напрямку *b*. Відстані Cs–Nd складають 4,761(2) та 4,593(2) Å, відстані Cs–Cs та Nd–Nd складають 8,515(1) та 9,312(1) Å, відповідно, а значення кута Cs–Nd–Cs становить 131,09(2)°.

Полімерна будова комплексу обумовлена містковою функцією САФ ліганду: іон цезію утворює зв'язки з вісімома атомами оксигену чотирьох сульфамідних груп та атомами оксигену двох фосфорильних груп від двох сусідніх комплексних *tetrapakis*-аніонів. Значення деяких довжин зв'язків у структурі комплексу Cs[NdL<sub>4</sub>] наведено у табл. 3.

Таблиця 3  
Довжини зв'язків комплексу Cs[NdL<sub>4</sub>]

Атоми	d, Å	Атоми	d, Å
Nd1–O1	2,478(5)	Cs1–O1	3,223(6)
Nd1–O3	2,347(8)	Cs1–O2	3,268(7)
Nd1–O6	2,501(6)	Cs1–O6	3,308(5)
Nd1–O8	2,420(7)	Cs1–O7	3,250(7)
Nd1–O11	2,498(5)	Cs1–O8	3,497(7)
Nd1–O15	2,364(6)	Cs1–O11	3,298(6)
Nd1–O16	2,394(6)	Cs1–O12	3,416(7)
Nd1–O17	2,496(5)	Cs1–O16	3,197(5)
		Cs1–O17	3,653(5)
		Cs1–O18	3,431(7)

Схожу будову має і описана раніше сполука Na[NdL<sub>4</sub>] [14]. В обох випадках атом неодиму знаходиться у центрі восьмивершина (КЧ 8) (оточений атомами оксигену від чотирьох хелатуючих САФ лігандів L<sup>-</sup>). За геометричними критеріями [15] координаційний поліедр іона неодиму можна інтерпретувати як викривлений додекаедр (рис. 5).

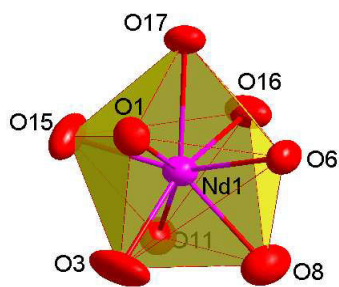


Рис. 5. Будова координаційного поліедру йону Nd<sup>3+</sup>

Фосфорильні ліганди координовані до атома лантаноїду бідентатно-циклічно через один з оксигенів сульфонільної групи та оксиген фосфорильної групи. Значення довжин зв'язків Nd–O у сполуці Cs[NdL<sub>4</sub>] за участю атомів оксигену фосфорильних груп лежать в межах 2,346(6)÷2,419(7) Å, довжини зв'язків Nd–O за участю атомів оксигену сульфонільних груп – 2,478(5)÷2,498(5) Å і є дещо меншими за відповідні значення довжин зв'язків у комплексі Na[NdL<sub>4</sub>]. Для обох типів *tetrapakis*-комплексів середня довжина зв'язку Ln–O для атомів оксигену сульфонільних груп дещо вища, ніж середня довжина Ln–O для фосфорильних груп, що можна пояснити більшою спорідненістю фосфорильної групи до іонів лантаноїдів.

### Висновки

Синтезовано та виділено в кристалічному стані нові координаційні сполуки лантаноїдів з диметил(фенілсульфоніл)амідофосфатом складу Cs[LnL<sub>4</sub>]. Одержані сполуки охарактеризовані методами ІЧ, ПМР та електронної спектроскопії, а комплекс Cs[NdL<sub>4</sub>] також методом РСА. Було встановлено полімерну будову сполуки Cs[NdL<sub>4</sub>], а координаційний поліедр іона неодиму інтерпретовано як викривлений додекаедр. Електронні спектри одержаного комплексу неодиму у розчині в ацетонітрилі вказують на збереження КЧ 8 центрального іона при розчиненні комплексу. При порівнянні температур плавлення, спектральних і структурних даних синтезованих сполук і раніше описаних комплексів складу Na[LnL<sub>4</sub>] можна зробити висновок про вплив природи позасферного катіона на властивості *tetrapakis*-комплексу, що в подальшему може бути використано при розробці електропровідних розчинів на основі САФ-вмісних комплексів.

### СПИСОК ЛІТЕРАТУРИ

1. Bunzli J.-C.G. Lanthanide luminescence for biomedical analyses and imaging // Chemical Reviews. – 2010. – Vol.110. – No. 5. – P.2729-2755.
2. Каткова М.А., Витухновский А.Г., Бочкарев М.Н. Координационные соединения редкоземельных металлов с органическими лигандами для электролюминесцентных диодов // Успехи химии. – 2005. – Т.74. – № 12. – С.1193-1215.
3. Kido J., Okamoto Y. Organo lanthanide metal complexes for electroluminescent materials // Chemical Reviews. – 2002. – Vol.102. – P.2357-2368.
4. Study of association of Eu(III) β-diketonato-1,10-phenanthroline complexes in silica-based hybrid materials /

Fadieiev Y.M., Smola S.S., Malinka E.V., Rusakova N.V. // Journal of Luminescence. – 2017. – Vol.183. – P.121-128.

5. Highly luminescent diphenyl-N-benzoylamidophosphate based lanthanide tetrakis-complexes / Kariaka N.S., Trush V.A., Smola S.S., Fadieiev Ye.M., Dyakonenko V.V., Shishkina S.V., Sliva T.Y., Amirkhanov V.M. // Journal of Luminescence. – 2018. – Vol.194. – P.108-115.

6. Gawryszewska P., Smolenski P. Ligands: synthesis, characterization and role in biotechnology. – New York: Nova Science Publishers. – 2014. – 295 p.

7. Binnemans K. Ionic liquid crystals // Chemical Reviews. – 2005. – Vol.105. – P.4148-4204.

8. Spectroscopy of new Sm(III) orange emitting phosphors of the type  $\text{Na}[\text{Sm}(\text{SP})_4]$ ,  $\text{Na}[\text{Sm}(\text{WO})_4]$  (where  $\text{SP}=\text{C}_6\text{H}_5\text{S}(\text{O})_2\text{NP}(\text{O})(\text{OCH}_3)_2^-$ ;  $\text{WO}=\text{CCl}_3\text{C}(\text{O})\text{NP}(\text{O})(\text{OCH}_3)_2^-$ ) and the polymeric materials obtained on their base / Cybinska J., Guzik M., Gerasymchuk Yu., Trush V.A., Lisiecki R., Legendziewicz J. // Optical Materials. – 2017. – Vol.63 – P.32-41.

9. Sheldrick G.M. SHELXT – Integrated space-group and crystal-structure determination // Acta Crystallographica. – 2015. – Vol.A71. – P.3-8.

10. Sheldrick G.M. A shot history of SHELX // Acta Crystallographica. – 2008. – Vol.A64. – P.112-122.

11. Мищенко В.Т., Александрова Н.Н., Полуэктов Н.С. Спектрометрическое исследование смешанных лигандных комплексов некоторых редко земельных элементов с этилендиаминтетрауксусной и щавелевой кислотами // Коорд. химия. – 1977. – Т.3. – С.707-711.

12. Романенко Е.Д., Костромина Н.А., Терновая Т.В. Определение состава и устойчивости сольватов неодима в водно-метанольных растворах // Журн. неорг. химии. – 1967. – Т.12. – С.701-706.

13. Dieke G.H. Spectra and energy levels of rare earth ions in crystals. – New York: Interscience Publ. – 1968. 401 p.

14. Structure and spectroscopy of  $\text{NaNd}(\text{SP})_4$  chelate: a new type of lanthanide luminophore / D. Kulesza, M. Sobczyk, J. Legendziewicz, O.M. Moroz, V.M. Amirkhanov // Structural Chemistry – 2010. – Vol.21. – P.425-438.

15. Порай-Кошиц М.А., Асланов Л.А. // Журн. структурной химии. – 1972. – Т.15. – № 6. – С.1463-1465.

Надійшла до редакції 17.08.2018

## SYNTHESIS, STRUCTURAL AND SPECTRAL STUDIES OF ANIONIC TETRAKIS-COMPLEXES OF LANTHANIDES $\text{CsLnL}_4^-$ WITH SAPH-LIGAND – DIMETHYL(PHENYLSULFONYL)AMIDOPHOSPHATE

*I.P. Olyshevets<sup>a</sup>, V.V. Dyakonenko<sup>b</sup>, S.V. Shyshkina<sup>b</sup>, V.O. Trush<sup>a</sup>, T.Yu. Sliva<sup>a</sup>, V.M. Amirkhanov<sup>a</sup>*

<sup>a</sup> Taras Shevchenko National University of Kyiv, Kyiv, Ukraine

<sup>b</sup> State Scientific Institution «Institute for Single Crystals» of National Academy of Sciences of Ukraine, Kharkiv, Ukraine

*Novel anionic coordination compounds of lanthanides with sulfonylamidophosphate (SAPh) ligand of general formula  $\text{Cs}[LnL}_4^-$  ( $Ln=La, Nd, Eu, Tb, L=[C_6H_5(SO_2)N(PO)(OCH_3)_2]$ ) have been synthesized. The obtained complexes have been investigated by means of  $^1\text{H}$  NMR, IR, electronic spectroscopies and X-ray diffraction analysis. The compound  $\text{Cs}[NdL}_4^-$  has been obtained in monocristalline form. The polymer structure of the complex built from  $[LnL}_4^-$  anions and cesium cations functioning as linkers has been established by the X-ray diffraction analysis and the coordination of ligands in the acidic form via the phosphoryl and sulfonyl group oxygen atoms has been confirmed. The coordination polyhedron of  $Nd^{3+}$  ion was interpreted as a distorted dodecahedron. Based on the analysis of absorption and diffuse reflection spectra, the structures of the closest environment of a central atom in the solution of the complex in acetonitrile and the crystalline state were concluded to be similar.*

**Keywords:** SAPh ligands; sulfonylamidophosphates; lanthanides; coordination compounds; tetrakis-complexes; spectroscopy; X-ray diffraction analysis.

## REFERENCES

- Bunzli J.-C.G. Lanthanide luminescence for biomedical analyses and imaging. *Chemical Reviews*, 2010, vol. 110, pp. 2729-2755.
- Katkova M.A., Vitukhnovsky A.G., Bochkarev M.N. Coordination compounds of rare-earth metals with organic ligands for electroluminescent diodes. *Russian Chemical Reviews*, 2005, vol. 74, pp. 1089-1109.
- Kido J., Okamoto Y. Organo lanthanide metal complexes for electroluminescent materials. *Chemical Reviews*, 2002, vol. 102, pp. 2357-2368.
- Fadieiev Y.M., Smola S.S., Malinka E.V., Rusakova N.V. Study of association of Eu(III)  $\beta$ -diketonato-1,10-phenanthroline complexes in silica-based hybrid materials. *Journal of Luminescence*, 2017, vol. 183, pp. 121-128.
- Kariaka N.S., Trush V.A., Smola S.S., Fadieiev Ye.M., Dyakonenko V.V., Shishkina S.V., Sliva T.Y., Amirkhanov V.M. Highly luminescent diphenyl-N-benzoylamidophosphate based lanthanide tetrakis-complexes. *Journal of Luminescence*, 2018, vol. 194, pp. 108-115.

6. Gawryszecka P., Smolenski P., *Ligands: synthesis, characterization and role in biotechnology*. Nova Science Publishers, 2014. 295 p.
7. Binnemans K. Ionic liquid crystals. *Chemical Reviews*, 2005, vol. 105, pp. 4148-4204.
8. Cybinska J., Guzik M., Gerasymchuk Yu., Trush V.A., Lisiecki R., Legendziewicz J. Spectroscopy of new Sm(III) orange emitting phosphors of the type  $\text{Na}[\text{Sm}(\text{SP})_4]$ ,  $\text{Na}[\text{Sm}(\text{WO})_4]$  (where  $\text{SP}=\text{C}_6\text{H}_5\text{S}(\text{O})_2\text{NP}(\text{O})(\text{OCH}_3)_2^-$ ;  $\text{WO}=\text{CCl}_3\text{C}(\text{O})\text{NP}(\text{O})(\text{OCH}_3)_2^-$ ) and the polymeric materials obtained on their base. *Optical Materials*, 2017, vol. 63, pp. 32-41.
9. Sheldrick G.M. SHELXT integrated space-group and crystal-structure determination. *Acta Crystallographica Section A*, 2015, vol. A71, pp. 3-8.
10. Sheldrick G.M. A short history of SHELX. *Acta Crystallographica Section A*, 2008, vol. A64, pp. 112-122.
11. Mishchenko V.T., Aleksandrova N.N., Poluektov N.S. Spektrometricheskoye issledovaniye smeshannoligandnykh kompleksov nekotorykh redko zemel'nykh elementov s etilendiamintetraaksozusnoi i shchavelevoi kislotami [The spectrometric study of mixed ligand complexes of some rare earth elements with ethylenediaminetetraacetic and oxalic acids]. *Koordinatsionnaya Khimiya*, 1977, vol. 3, pp. 707-711. (in Russian).
12. Romanenko Ye.D., Kostromina N.A., Ternovaya T.V. Opredeleniye sostava i ustoichivosti sol'vatov neodima v vodno-metanol'nykh rastvorakh [Determination of the composition and stability of neodymium solvates in water-methanol solutions]. *Zhurnal Neorganicheskoi Khimii*, 1967, vol. 12, pp. 701-706. (in Russian).
13. Dieke G.H., *Spectra and energy levels of rare earth ions in crystals*. Interscience Publishers, New York, 1968. pp. 401.
14. Kulesza D., Sobczyk M., Legendziewicz J., Moroz O.M., Amirkhanov V.M. Structure and spectroscopy of  $\text{NaNd}(\text{SP})_4$  chelate: a new type of lanthanide luminophore. *Structural Chemistry*, 2010, vol. 21, pp. 425-438.
15. Porai-Koshits M.A., Aslanov L.A. Some aspects of the stereochemistry of eight-coordinate complexes. *Journal of Structural Chemistry*, 1972, vol. 13, pp. 244-253.